

# عدم کارایی shRNA اختصاصی بر علیه ژن EIA در کاهش بیان پایدار HEK 293

هاله ونقی<sup>۱</sup>، مهرداد بهمنش<sup>۲\*</sup>، مجید صادقیزاده<sup>۳</sup>

- ۱- دانشجوی کارشناسی ارشد، گروه ژنتیک، دانشکده علوم پایه، دانشگاه تربیت مدرس، تهران، ایران  
۲- استادیار، گروه ژنتیک، دانشکده علوم پایه، دانشگاه تربیت مدرس، تهران، ایران  
۳- دانشیار، گروه ژنتیک، دانشکده علوم پایه، دانشگاه تربیت مدرس، تهران، ایران

دریافت مقاله: ۸۷/۶/۱۳  
پذیرش مقاله: ۸۷/۲/۲۳

## چکیده

هدف: انکوپروتئین EIA در آدنوفیروس تیپ ۵ یک فاکتور تنظیمی است که موجب کترول فرایند رونویسی ژن‌های آدنوفیروس می‌شود. این پروتئین با تغییر در عملکرد پروتئین‌های مهم سلولی از جمله p21 و pRb سبب ایجاد شرایط مساعد برای همانندسازی ژنوم ویروس و ترانسفورم شدن سلول‌های میزان می‌شود. هدف از تحقیق حاضر مهار پایدار بیان ژن EIA در سلول‌های HEK 293 با استفاده از روش RNAi بوده تا آثار این مهار روی سلول‌های فوق بررسی شود.

مواد و روش‌ها: ناحیه پروموتر U6 و shRNA از دو پلاسمید اهدایی کترول و پلاسمید کدکننده siRNA اختصاصی علیه ژن EIA بنامهای pSP81-E1A و pSP-81 در پلاسمید pcDNA3.1 ساپ کلون شد. سپس سازه‌های ساخته شده با روش لیپوفکشن به سلول‌های سرطانی HEK 293 ترانسفکت و کلونی‌های سلول‌های ترانسفورم شده بر اساس مقاومت به آنتی‌بیوتیک نومایسین انتخاب شدند. تغییرات حاصل از این عمل روی بیان ژن EIA با استفاده از روش RT-PCR بررسی شد.

نتایج: بررسی‌ها نشان‌گر عدم تفاوت در میزان بیان ژن EIA در پی ترانسفکشن سلول‌ها با پلاسمیدهای مورد نظر در دو گروه مهار و کترول بود. برای بررسی احتمال تأثیر روند کلونی‌گر بر عملکرد پرموتر U6، سلول‌ها با پلاسمیدهای اهدایی نیز ترانسفکت شدند که مجدداً عدم مهار بیان ژن EIA مشاهده شد.

نتیجه‌گیری: نتایج نشان دادند که با وجود تکرار آزمایش هکرمهار قابل توجهی صورت نگرفت. برای کسب اطمینان از صحبت توالی ژن EIA قطعه تکثیر شده در فرایند PCR، که شامل ناحیه ۱۳S این ژن است، توالی‌بایی شد. نتایج حاصل از توالی‌بایی با وجود جهش در یک نوکلتوئید در ناحیه‌ای بود که به عنوان هدف برای siRNA انتخاب شده بود. بنابراین می‌توان علت عدم مهار را به وجود این جهش در تراوید ژن EIA در سلول‌های استفاده شده در این مطالعه مربوط دانست.

کلیدواژگان: EIA، HEK 293، آدنوفیروس تیپ ۵، shRNA، RNAi.

## ۱- مقدمه

آدنوفیروس تیپ ۵ به سلول‌های سرطانی تبدیل شده‌اند [۱]. پروتئین‌های E1A و E1B دو فاکتور کلیدی در کترول تکثیر آدنوفیروس در این سلول‌ها هستند. در پی

رده سلولی (Human Embryonic Kidney) HEK 293 از سلول‌های اپیتلیالی مشتق شده از بافت جنینی کلیه انسان هستند که از طریق ترانسفورم (Transformation) شدن با

\* نشانی مکاتبه: تهران، دانشگاه تربیت مدرس، دانشکده علوم پایه، گروه ژنتیک، صندوق پستی ۱۴۱۱۵-۱۷۵

Email: behmanesh@modares.ac.ir

کاهش این بیان از روش RT-PCR نیمه‌کمی استفاده شد.

## ۲- مواد و روش‌ها

### ۲-۱- کشت سلول‌های HEK 293

رده سلولی HEK 293 از انتستیو پاستور ایران تهیه و در محیط کشت RPMI-1640 با غلظت ۱۰ درصد در اکسپریس (Fetal Bovine Serum) FBS در انکوپاتور با هوای مرطوب و غلظت  $CO_2$  ۵ درصد و دمای ۳۷ درجه سانتی‌گراد کشت داده شدند.

### ۲-۲- طراحی siRNA

طراحی siRNA در نواحی مشترک بین دو رونوشت  $12S$  و  $13S$  E1A بر اساس قواعد حاکم بر این کار و با استفاده از نرم‌افزارهای متنوعی که به صورت آنلاین (Online) در شبکه اینترنت وجود دارد از جمله سایت و نرم‌افزار معتبر Ambion انجام گرفت و با توجه به نتایج حاصل دو ناحیه که بین mRNA‌های  $12S$  و  $13S$  مشترک بود به عنوان بهترین محل برای ساخت و سفارش الیگو انتخاب شد. در کنار این و به دنبال بررسی مقالات چاپ شده در این زمینه، مقاله هکر (Hacker) و همکاران که با استفاده از یک پلاسمید کدکننده shRNA با کمک پرومومتر U6 snRNA (small nucleolar RNA)، موفق به مهار موقت زن *EIA* به میزان ۷۵ درصد شده بودند مورد توجه قرار گرفت [۵]. با توجه به این که مناسب‌ترین الیگو طراحی شده مانند نوکلئوتید با آنچه که هکر و همکاران استفاده کرده بودند، تنها در دو نوکلئوتید با آنچه که هکر و همکاران استفاده کرده بودند، تفاوت داشت و از آنجا که کارایی shRNA آن‌ها با توجه به مقاله چاپ شده تأیید شده بود، از پلاسمیدهای اهدایی pSP81 و pSP81-E1A برای انجام این تحقیق استفاده شد.

### ۳-۲- تعیین توالی قطعات پرومومتر U6 snRNA و shRNA

به منظور تعیین صحت توالی‌های پرومومتر pSP81-E1A و shRNA از پلاسمیدهای اهدایی pSP81 و pSP81-E1A قطعات مزبور در پلاسمید pBluescriptII(-) ساپکلون شدند. بدین منظور ۳ میکروگرم از هر یک از پلاسمیدهای pSP81 و pSP81-E1A توسط آنزیم‌های محدود کننده

عفونت توسط آدنوویروس‌ها، اولین زنی است که بالاصله پس از آلوده شدن سلول‌ها بیان می‌شود. همچنین *EIA* به عنوان فاکتور تنظیم‌کننده رونویسی برای تولید mRNA زن‌های دیگر از *EIA* جمله لازم و ضروری است. پروتئین‌های حاصل از زن *EIA* با دخالت در تنظیم متابولیسم سلول میزبان سبب ایجاد شرایط مساعد برای همانندسازی DNA ویروسی می‌شود [۲]. دو محصول اصلی این زن که در طی فاز زودرس (Early) آلوودگی بیان می‌شوند به ترتیب ۲۸۹ و ۲۴۳ اسید‌آمینه طول دارند که تنها تفاوت این دو پروتئین وجود ۶۴ اسید‌آمینه اضافه در ایزوفرم بزرگ‌تر است که ناشی از پیرایش متناوب (Alternative Splicing) انجام شده روی رونوشت اولیه E1A است. این پروتئین‌ها براساس ضربی رسوب سودبرگ (Swedberg) به ترتیب  $13S$  و  $12S$  نامیده می‌شوند. پروتئین‌های E1A باعث تغییر در فعالیت چندین مسیر داخل سلولی می‌شوند. به عنوان مثال E1A با اتصال به پروتئین ریتیوبلاستوما (pRb) منجر به اختلال در اتصال بین این پروتئین با فاکتور رونویسی E2F شده و در نتیجه باعث پیشرفت چرخه سلولی و ادامه تقسیم سلول می‌شود. از دیگر پروتئین‌هایی که تحت تاثیر E1A قرار می‌گیرد پروتئین p21 قادر است که دارای نقش‌های کلیدی و متعددی در تنظیم چرخه سلولی بوده و به همین دلیل یک پروتئین هدف مهم برای انکوپروتئین‌های ویروسی از جمله E1A محسوب می‌شود. E1A قادر است به پروتئین p21 متصل شود که این اتصال منجر به اختلال در عملکرد p21 و کاهش تعداد سلول‌های متوقف شده در مرحله G1 می‌شود و بدین ترتیب سبب گذر سلول‌های واقع در مرحله G1/S از مرحله کنترل G1/S و ادامه فرایند چرخه تکثیر سلولی می‌شود [۴,۳].

با توجه به اهمیت این انکوپروتئین ویروسی و نقش آن در تومورزایی سلول‌ها هدف از این تحقیق مهار پایدار بیان زن *EIA* آدنوویروس تیپ ۵ در سلول‌های سرطانی HEK 293 از طریق ترانسفکشن (Transfection) سلول‌ها با پلاسمید کدکننده shRNA (short hairpin RNA) انتخابی آن زن به صورت پایدار بود.

بررسی مقالات قبلی نشان داد که یک گروه موفق به مهار موقت زن *EIA* در سلول‌های HEK 293 با استفاده از پلاسمید کدکننده shRNA شده بودند. بنابراین در این تحقیق از آن توالی به منظور مهار پایدار بیان زن *EIA* و برای ارزیابی میزان

## ۶-۲- ترانسفکشن پلاسمیدها با روش لیپوفکشن (Lipofection)

ترانسفکشن پلاسمیدها به داخل سلول‌های HEK 293 با استفاده از لیپوفکتامین (Invitrogen) (Lipofectamin) و براساس روش پیشنهادی شرکت سازنده انجام گرفت. بدین منظور تعداد  $4 \times 10^5$  سلول به ازای هر چاهک در ظرف ۶-خانه به همراه ۳ میلی‌لیتر از محیط کشت حاوی سرم و فاقد آنتی‌بیوتیک کشت داده شدند. در روز بعد محیط سلول‌ها تخلیه و با PBS (Phosphate Buffered Saline) شستشو داده شدند. سپس ۲ میکروگرم از هر یک از پلاسمیدهای مورد استفاده در تحقیق به ۱۰۰ میکرولیتر Opti-MEM (Invitrogen) Opti-MEM اضافه شد. در لوله‌های جداگانه مقادیر ۲ میکرولیتر از Opti-MEM و لیپوفکتامین تا رسیدن به حجم ۱۰۰ میکرولیتر از Opti-MEM به ازای هر چاهک با یکدیگر مخلوط شدند. آنگاه این محلول‌ها با همدیگر مخلوط و سوسپانسیون حاصل به مدت ۳۰ دقیقه در دمای اتاق به صورت ثابت نگهداری شد. پس از آن در نهایت ۴۰۰ میکرولیتر سوسپانسیون نهایی به هر چاهک که حاوی ۴۰۰ میکرولیتر از محیط RPMI-1640 بدون سرم و آنتی‌بیوتیک بوده افزوده شد. پس از گذشت ۵ ساعت انکوباسیون در ۳۷ درجه سانتی‌گراد، ۸۰۰ میکرولیتر محیط کشت حاوی ۲۰ درصد سرم به هر چاهک اضافه شد. سپس سلول‌ها در ۳۷ درجه سانتی‌گراد نگهداری شدند.

## ۷-۲- انتخاب سلول‌های ترانسفکت شده (Transfected cells)

پس از گذشت ۷۲ ساعت از انجام ترانسفکشن به منظور انتخاب سلول‌های ترانسفکت شده با کمک آنتی‌بیوتیک G418، سلول‌های هر چاهک به نسبت ۱:۱۰ رقیق شده و مجلداً کشت داده شدند. روز بعد سلول‌ها با آنتی‌بیوتیک G418 و با غلظت ۴۰۰ میکروگرم در میلی‌لیتر تیمار داده شده و به دنبال آن محیط کشت سلول‌ها هر سه روز یکبار با محیط کامل همراه با آنتی‌بیوتیک به مدت دو هفته تعویض شد. پس از ظاهر شدن کلونی‌های سلولی مقاوم به G418 سلول‌ها تریپسینه شده و هر کدام به یک فلاسک T25 متقل شدند.

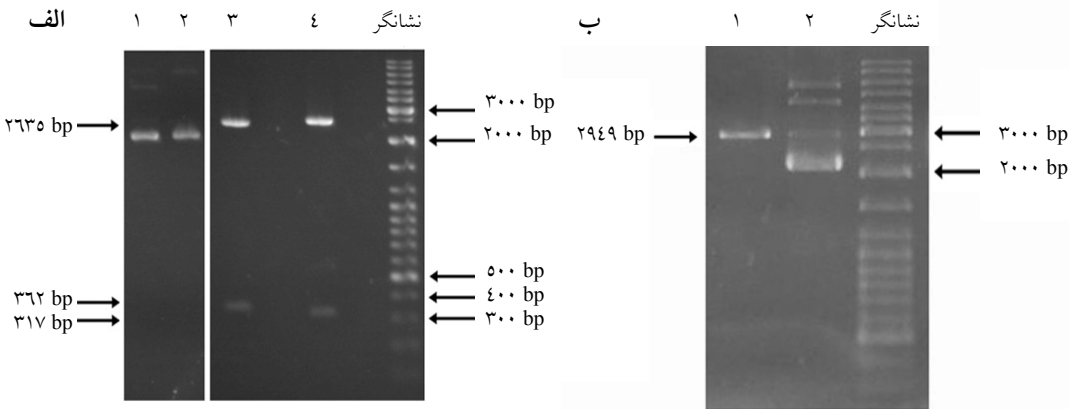
(Fermentas) EcoRI و HindIII هضم شد. سپس قطعات حاصل پس از جداسازی از ژل در محلهای مشابه در پلاسمید pBluescriptII(-) ساپ‌کلون شدند. واکنش الحاق توسط آنزیم (Fermentas) T4DNA لیگاز و براساس روش پیشنهادی شرکت سازنده انجام گرفت. در نهایت پلاسمیدهای ساخته شده با استفاده از آغازگر (Primer) عمومی ترادف‌یابی و ترادف حاصل با استفاده از نرم‌افزار Generunner بررسی شد.

## ۴-۲- تهیه سازه‌های pcDNA-U6SnRNAP-shRNA و pcDNA-U6SnRNAP

برای برش قطعه حاوی پروموتر U6 و توالی از shRNA پلاسمید pSP81-E1A و قطعه حاوی پروموتر U6 از پلاسمید (Fermentas) BamHI و HindIII و pSP81، از دو آنزیم BglII و HindIII روی پلاسمید pcDNA3.1 کلون شدند. برای تأیید ساختمان سازه‌های ساخته شده از روش کلونی Colony PCR و هضم آنزیمی استفاده شد. سازه‌های نهایی تحت عنوان pcDNA-U6SnRNAP-shRNA و pcDNA-U6SnRNAP نام‌گذاری شدند.

## ۵-۲- تعیین دوز کشنده G418 برای سلول‌های HEK 293

برای تعیین حداقل دوز کشنده آنتی‌بیوتیک G418 (Sigma) در سلول‌های HEK 293 ابتدا تعداد  $4 \times 10^5$  سلول به ازای هر چاهک در ظرف ۶-خانه (6-well plate) در حضور ۳ میلی‌لیتر از محیط کشت کامل کشت داده شد. پس از گذشت ۲۴ ساعت مقادیر ۲۰۰، ۴۰۰، ۶۰۰ و ۸۰۰ میکروگرم در میلی‌لیتر از آنتی‌بیوتیک G418 به هر چاهک ظرف افزوده شد و یک چاهک نیز به عنوان کنترل بلدون آنتی‌بیوتیک در نظر گرفته شد. سپس محیط کشت سلول‌ها در هر سه روز با محیط کامل همراه با مقادیر مشخص شده از آنتی‌بیوتیک به مدت دو هفته تعویض شد. در پایان این مدت و براساس نتایج بدست آمده، غلظت ۴۰۰ میکروگرم در میلی‌لیتر به عنوان دوز کشنده سلول‌های HEK 293 تعیین شد.



شکل ۱ الکتروفورز ژل آگارز محصولات حاصل از هضم دوآنزیمی پلاسمیدهای pSP81-E1A و p(-) pBluescript II<sup>TM</sup> Hind III و EcoR I<sup>TM</sup>. (الف) ستون های ۱ و ۲: نماینده پلاسمیدهای هضم نشده (به عنوان کنترل) هستند؛ ستون های ۳ و ۴: نماینگر وجود قطعات ۲۶۳۵ جفت بازی و ۳۶۲ جفت بازی در نتیجه هضم پلاسمید pSP81-E1A و قطعات ۲۹۴۹ و ۳۱۷ جفت بازی در نتیجه هضم پلاسمید pSP81 است؛ (ب) ستون ۱: نماینگر قطعات ۲۹۴۹ جفت بازی و ۱۲ جفت بازی در نتیجه هضم دوآنزیمی pBluescriptII<sup>TM</sup>؛ ستون ۲: پلاسمید هضم نشده که به عنوان کنترل است.

: CACTCTTCCAGCCTTCCTTC

: AGTCCGCCTAGAACGATTG

از میزان بیان ژن بتا-اکتین ( $\beta$ -actin) به عنوان کنترل داخلی استفاده شد. محصولات PCR روی ژل آگارز ۱ در صد جداسازی و پس از رنگ‌آمیزی با اتیدیوم بروماید (Ethidium bromide) عکس‌برداری شدند.

### ۳- نتایج

#### ۱-۳- ساخت سازه‌های pcDNA-U6SnRNAP-shRNA و

به منظور حصول اطمینان از ماهیت پلاسمیدهای اهدایی دکتر هکر و نیز جداسازی قطعات shRNA و پرموتر برای کلون کردن در پلاسمید (-) pBluescriptII Sk<sup>TM</sup> از هضم آنزیمی با کمک آنزیم‌های محدودکننده EcoRI<sup>TM</sup> و HindIII<sup>TM</sup> استفاده شد.

بررسی الکتروفورز ژل آگارز نشان داد که اندازه قطعات حاصل از هضم آنزیمی مطابق با اندازه‌های پیش‌بینی شده بودند (شکل ۱). پس از انجام ساپ‌کلونینگ، پلاسمیدهای حاصل در ناحیه مورد نظر تعیین توالی شدند. نتیجه توالی پایابی نشان داد که ترادف قطعه پرموتر + shRNA دقیقاً مطابق با ترادف مورد انتظار بود (شکل ۲).

سپس به مدت ۱ هفته سلول‌ها در حضور آنتی‌بیوتیک G418 کشت و داده شدند تا سلول‌ها از نظر تعداد افزایش یابند.

#### ۸-۲- استخراج RNA تام سلوی و

TAM RNA سلوی پس از انجام روند انتخاب، با کمک کیت Cinnagen RNX plus<sup>TM</sup> از سلول‌های ترانسفکت شده استخراج شد. برای ساخت cDNA از ۳ میکروگرم RNA تام در حجم واکنش ۲۰ میکرولیتر با کمک الیگومر تیمیدین (Fermentas) RevertAid<sup>TM</sup>-MuLV (oligo-dT) و آنزیم بر اساس برنامه ارایه شده توسط شرکت استفاده شد. پس از انجام واکنش رونویسی معکوس، به منظور تکثیر قطعه مورد نظر واکنش PCR با استفاده از ۲ میکرولیتر از cDNA تهیه شده به همراه ۱ واحد آنزیم ۱/۵ MgCl<sub>2</sub> و (Fermentas) (Recombinant Taq) rTaq میلی مولار، ۲۰۰ میکرو مولار، ۵ پیکومول از هر آغازگر و در حجم نهایی ۲۵ میکرولیتر انجام گرفت.

ترادف آغازگرهای به کار رفته در این تحقیق به شرح زیر بود: E1A (AAN-08102) : GATAATCTTCCACCTCCTAGCC  
: CTCTCACGGCAACTGGTTAATGG  
: NM-001101 (NM-001101) بتا-اکتین

الف



The chromatogram displays four DNA strands, each represented by a different colored line: A (green), T (red), C (blue), and G (black). The sequence labels above the peaks correspond to the following sequence:

C A A G G T C G G C A G G A A G A G G G C C T A T T T

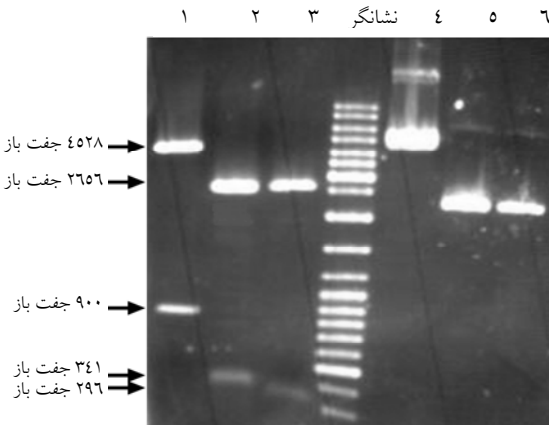
شکل ۲ مقایسه قسمتی از توالی قطعه کلون شده در پلاسمید U6snRNAP-shRNA pBluescriptII U6snRNAP-shRNA (رنگ آبی) با ترافق اصلی پروموتر U6 snRNA (رنگ سیاه) (الف) و بخشی از گراف حاصل از توالی آبی پرموتور U6 snRNA (ب) را نشان می دهد.

پلاسمیدهای pSP81-E1A و pSP81 در پلاسمید pcDNA3.1 ساخته شده با کمک کلکولوی PCR و هضم آنزیمی، تأیید شد (شکا، ۳).

### ۳-۲- پرسی کارایی ترانس فکشن سلول های

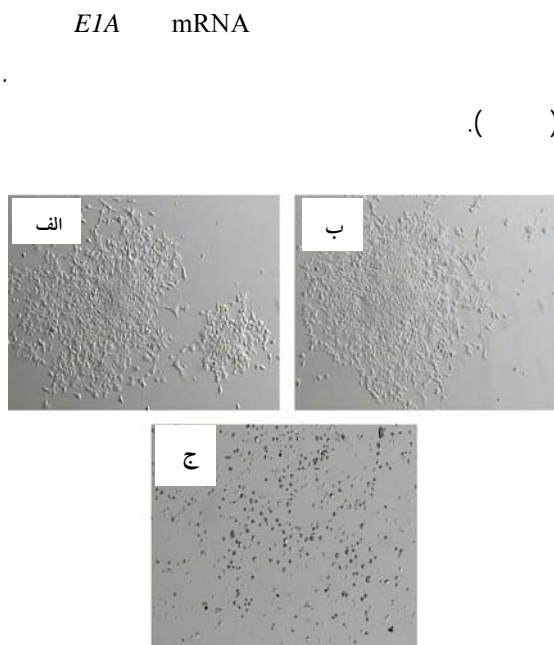
## HEK 293 یا استفاده از لیبو فکتامین

به منظور حصول اطمینان از کارایی روش لیپوفکشن، ترانسفکشن مقدار یکسان از پلاسمید کدکننده GFP به نام pcDEBΔ-GFP با سه مقدار ۲، ۵ و ۷ میکرولیتر از لیپوفکتامین در سلول‌های HEK 293 انجام گرفته و سه روز پس از انجام ترانسفکشن با کمک میکروسکوپ معکوس فلورسانس کارایی ترانسفکشن ارزیابی شد. بررسی انجام شده نشانگر وجود تعداد قابل قبولی از سلول‌ها بود که پلاسمید حاوی ژن گزارشگر را حمل می‌کردند. از آنجا که تفاوت قابل توجهی در بین مقدار ۵ و ۷ میکرولیتر مشاهده نشد، بنابراین مقدار ۵ میکرولیتر به عنوان مقدار مناسب از لیپوفکتامین برای انجام ترانسفکشن پلاسمیدهای اصلی انتخاب شد (شکار ۴).

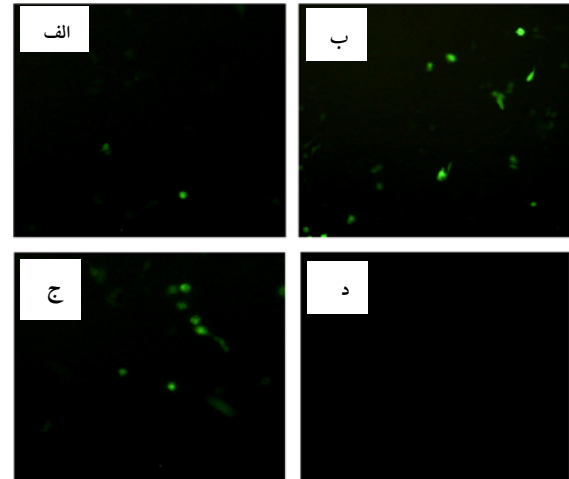
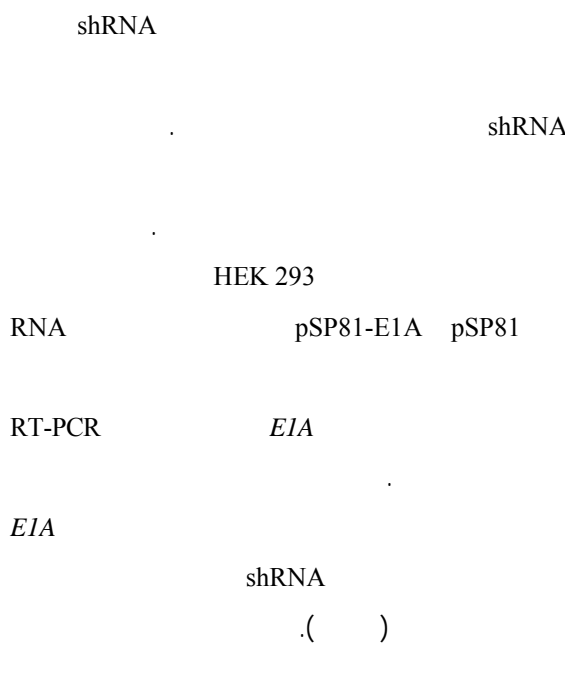


**شکل ۳** الکتروفورز ژل آکارز محصولات حاصل از هضم آنزیمی پلاسمیدهای pcDNA3.1، pSP81-E1A و pSP81 توسط آنزیم‌های محدود کننده *Hind III*, *Bgl II* و *BamH I*. ستون ۱: نشان‌دهنده قطعات ۴۵۲۸ بازی و ۹۰۰ جفت بازی. ستون ۲: نمایانگر قطعات ۲۶۵۶، ۳۴۱ و ۲۹۶ جفت بازی. ستون ۳: نماینده pSP81 با دو آنزیم *Hind III* و *BamH I* و *Bgl II*. ستون ۴ و ۵: نماینده pSP81-E1A و *pcDNA3.1* به عنان کتیل هستند.

از آنجا که پلاسمیدهای اهدایی، فاقد ژن مقاومت به آنتی بیوتیک در سلول‌های یوکاریوتی برای انجام انتخاب و بیان یادار بودند، قطعات برموده shRNA و U6snRNA



شکل ۵ عکس میکروسکوپی از کلونی‌های ایجاد شده از سلول‌های ترانسفکت شده با پلاسمید حاوی ژن انتخاب‌گر مقاومت به نومایسین (الف) سلول‌های ترانسفکت شده با پلاسمید-*shRNA*، (ب) سلول‌های ترانسفکت شده با پلاسمید-*pcDNA-U6snRNP*. (ج) در گروه کنترل فاقد پلاسمید، کلیه سلول‌های گروه ج پس از طی دوره تیمار از بین رفته‌اند.



شکل ۶ ترانسفکشن سلول‌های HEK 293 به روش لیپوفکشن با استفاده از پلاسمید گزارشگر حاوی GFP که نور تابیده شده از سلول‌ها نشانگر موفقیت ترانسفکشن است. (الف) نمایانگر مقدار ۲ میکرولیتر، (ب) ۵ میکرولیتر و (ج) ۷ میکرولیتر از لیپوفکتامین است. با توجه به مشابهت میزان ترانسفکشن در دو مقدار ۵ و ۷ میکرولیتر، مقدار ۵ میکرولیتر به عنوان مقدار مناسب انتخاب شد. (د) گروه کنترل فاقد پلاسمید را نشان می‌دهد.

### ۳-۳- ترانسفکشن پلاسمیدهای-

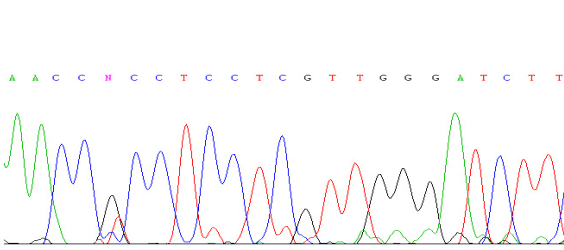
#### *pcDNA-U6SnRNP* و *U6SnRNP-shRNA*

به دنبال تعیین میزان حساسیت سلول‌های HEK 293 نسبت به آنتی‌بیوتیک G418، سلول‌ها با پلاسمید *pcDNA-U6snRNP-shRNA* به منظور مهار ژن *EIA* و پلاسمید *pcDNA-U6snRNP* به عنوان پلاسمید کنترل، با روش لیپوفکشن ترانسفکت شدند. بعد از دو هفته کلونی‌های مقاوم ظاهر و تغییرات احتمالی بیان ژن هدف در این سلول‌ها با روش نیمه‌کمی (Semi-quantitative RT-PCR) ارزیابی شد (شکل ۵).

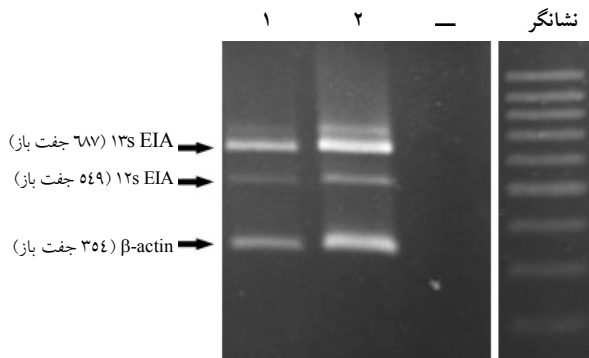
### ۴-۴- بررسی بیان ژن *EIA* در سلول‌های

ترانسفورم شده

نوکلوتئید جهش مشاهده شد (شکل ۸).



شکل ۸ قسمتی از گراف حاصل از توالی‌بایی ژن *EIA* که نشان‌دهنده وجود یک جهش در ناحیه هدف برای توالی shRNA است.

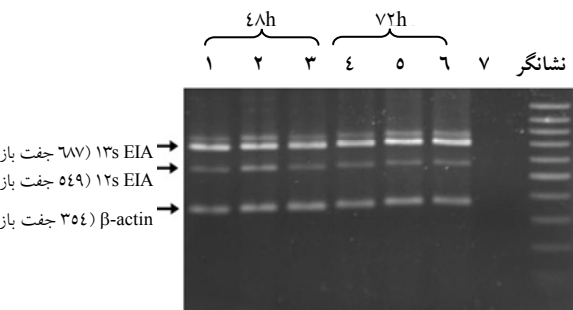


شکل ۶ مقایسه نیمه‌کمی بیان mRNA ژن *EIA* در سلول‌های ترانسفکت شده با پلاسمیدهای pcDNA-U6snRNAP (ستون ۱) و -pcDNA (ستون ۲). سطح بیان mRNA ژن بتا-اکتین به عنوان کنترل داخلی استفاده شد. (-) کنترل منفی برای انجام روش RT-PCR

#### ۴- بحث

##### RNA interference (RNAi)

فرآورانی که در شناسایی عملکرد انواع ژن‌ها در مسیرهای مختلف سلولی دارد، بسیار مورد توجه است. مولکول‌های دو رشته‌ای siRNA می‌توانند بسته به هدف نهایی به دو صورت ناپایدار یا پایدار به کار گرفته شوند. از مزایای بیان ناپایدار از طریق الیگوهای پیش‌ساخته siRNA سرعت بالای مهار و آسانی روش انجام از نظر زمانی است. اما الیگوهای پیش‌ساخته siRNA دارای طول عمر نسبتاً کوتاه بوده و امکان ارزیابی سلول‌های ترانسفکت شده و میزان آن‌ها نسبت به سلول‌های ترانسفکت نشده وجود ندارد. به همین علت توانایی آن‌ها در مهار بیان ژن مورد نظر محدود است. [۷، ۶] به منظور غلبه بر نارسایی‌های روش بیان ناپایدار الیگوهای siRNA از سیستم‌های بیان پایدار siRNA به واسطه پلاسمید یا ناقل‌های ویروسی استفاده می‌شود. بیان shRNA به واسطه ناقل (پلاسمید یا ویروس) نه تنها سبب بیان پایدار و بلندمدت الیگوها می‌شود، سایر معایب استفاده از الیگوهای آماده را نیز ندارد [۹، ۸]. در این تحقیق از پلاسمید pSP81-E1A (ستون ۱)، پلاسمید pSP81 (ستون ۲) و گروه کنترل فاقد پلاسمید (ستون ۳)، در ساعات ۴۸ و ۷۲ با پلاسمید pSP81-E1A (ستون ۴)، پلاسمید pSP81 (ستون ۵) و گروه کنترل فاقد پلاسمید (ستون ۶). کنترل منفی RT-PCR (ستون ۷). سطح بیان mRNA ژن بتا-اکتین به عنوان کنترل داخلی استفاده شد.



شکل ۷ آنالیز RT-PCR بیان mRNA ژن *EIA* در سلول‌های ترانسفکت شده در ساعات ۴۸ با پلاسمید pSP81-E1A (ستون ۱)، پلاسمید pSP81 (ستون ۲) و گروه کنترل فاقد پلاسمید (ستون ۳)، در ساعات ۷۲ با پلاسمید pSP81-E1A (ستون ۴)، پلاسمید pSP81 (ستون ۵) و گروه کنترل فاقد پلاسمید (ستون ۶). کنترل منفی RT-PCR (ستون ۷). سطح بیان mRNA ژن بتا-اکتین به عنوان کنترل داخلی استفاده شد.

#### ۵-۳- توالی‌بایی ژن *EIA*

پس از اینکه سلول‌ها با پلاسمیدهای گروه هکر ترانسفکت شد و مجدداً عدم مهار بیان ژن *EIA* مشاهده شد، توالی ژن در سلول‌های HEK 293 مورد بررسی قرار گرفت. این کار به منظور اطمینان از صحت عملکرد آغازگرهای طراحی شده برای تکثیر ژن *EIA* در آزمایش RT-PCR و همچنین برای بررسی توالی تاجیه هدف توالی shRNA بود. بدین منظور، محصول PCR قطعه ۱۳S این ژن برای توالی‌بایی ارسال شد. نتایج به دست آمده از توالی‌بایی shRNA برای توالی یابی ارسال شد. نتایج به دست آمده از توالی‌بایی HEK 293 در تکثیر *EIA* cDNA ژن *EIA* بود. ولی در نایمه‌ای که به عنوان هدف برای siRNA انتخاب شده بود در یک

حالت کنترل بود.

با توجه به نتایج حاصل از این مرحله و برای بازسازی آزمایش مقاله هکر، سلول‌های HEK 293 با پلاسمیدهای استفاده شده توسط گروه هکر ترانسفکت شدند. آنالیز نتایج RT-PCR در ۴۸ و ۷۲ ساعت [۵] پس از ترانسفکشن بیانگر عدم مهار بیان ژن EIA توسط پلاسمید کدکننده shRNA در هر دو زمان نسبت به حالت کنترل بود.

نظر به این‌که حتی در سلول‌های ترانسفکت شده با پلاسمیدهای گروه هکر نیز شاهد عدم تغییر در بیان ژن EIA بودیم این احتمال در نظر گرفته شد که ممکن است جهش یا جهش‌هایی در توالی ژن EIA سلول‌های HEK 293 مورد استفاده به وقوع پیوسته باشد. به منظور بررسی این احتمال محصول PCR ژن EIA توالی‌بایی شد.

نتایج حاصل از آن نشان‌دهنده صحت ترافد بود ولی در ناحیه‌ای که به عنوان هدف برای siRNA انتخاب شده بود شاهد یک جهش بودیم. بنابراین از آنجا که وجود هر گونه جهش در ترافد mRNA ژن هدف مولکول RNAi موجب عدم اخلاق موقفيت‌آمیز در بیان آن ژن توسط روش RNAi خواهد شد و در این راستا گزارش شده است که حتی یک تغییر تک نوکلئوتیدی در ترافد نیز قادر به ایجاد نقصان کامل در فرایند شود، می‌توان در ترافد نیز قادر به ایجاد نقصان کامل در فرایند شود، می‌توان علت عدم مهار در این مطالعه را وجود این جهش عنوان کرد. هر چند احتمالات دیگری مانند نقص در فرایندهای بلوغ و عملکرد مولکول siRNA در سلول‌های HEK 293 استفاده شده در این تحقیق را نیز نمی‌توان به طور کلی نادیده گرفت.

به طور خلاصه نتایج به دست آمده به دنبال ترانسفکشن پلاسمیدهای کدکننده shRNA بر علیه ژن EIA که توسط هکر و همکاران استفاده شده بود و عدم مشاهده کاهش بیان ژن EIA در سلول‌های HEK 293 و مشاهده جهش در توالی mRNA ژن هدف در روش RNAi می‌تواند موجب اختلال در مرحله اتصال mRNA به ناحیه هدف و به دنبال آن عدم تجزیه siRNA مورد نظر و در نهایت اخلاق در فرایند RNAi شود.علاوه بر این صحت عملکرد مکانیسم عمل آوری توالی‌های بازدارنده RNA در سلول‌ها می‌تواند جز عوامل تأثیرگذار بر کاهش بیان ژن توسط روش RNAi شود.

استفاده از یک پلاسمید کدکننده ترافد siRNA اختصاصی علیه ژن EIA تحت کنترل پرومودر U6 snRNA. به طور ناپایدار و با استفاده از روش کلسیم فسفات موفق به مهار ژن EIA به میزان حدود ۷۵ درصد پس از ۷۲ ساعت شده بودند [۵].

هدف از تحقیق حاضر مهار پایدار بیان ژن EIA در مرحله پس از رونویسی و مطالعه اثر آن بر میزان تکثیر سلولی و نیز بررسی بیان ژن‌های درگیر با عملکرد این پروتئین همانند pRb و p21 در سلول‌های HEK 293 به منظور بررسی امکان استفاده از آن برای کاربردهای درمانی احتمالی بود. برای حصول این هدف با بررسی توالی ژن EIA و واریانت‌های اصلی آن سعی شد که در نواحی مشترک این دو واریانت، مناسب‌ترین ترافد برای طراحی siRNA اختصاصی به جهت مهار این ژن طراحی شود.

پس از یافتن ناحیه مناسب و با مقایسه با مقاله منتشر شده توسط گروه هکر و شباهت نزدیک (۹۹ درصد) بین الگوی طراحی شده تحقیق حاضر و آن گروه و با توجه به این واقعیت که نتایج ارایه شده به‌وسیله آن گروه بیانگر کارایی بسیار مناسب shRNA مورد استفاده آنان داشت، تصمیم به استفاده از ترافد انتخابی آن‌ها گرفته شد. از آنجا که این پلاسمیدها با نام‌های pSP81-E1A و pSP81 نام‌گذاری شده‌اند، برای تعیین هویت و اطمینان یافتن از صحت ساختار آن‌ها، قطعات shRNA به همراه پرومودر U6 در ناقل (-) pBluescriptII کلون به همراه توالی‌بایی شد. پس از تأیید توالی‌های مورد نظر، قطعات شامل پرومودر و shRNA به پلاسمید pCDNA3.1 برای بهره‌گیری از ژن مقاومت به آنتی‌بیوتیک در سلول‌های یوکاریوئی، منتقل شدند. سازه‌های نهایی با استفاده از روش لیپوفکشن به سلول‌های HEK 293 ترانسفکت شدند و پس از انجام فرایند انتخاب کلونی‌های سلولی پایدار، جداسازی شدند. همچنین کارایی روند استفاده از لیپوفکتامین در این مطالعه با کمک پلاسمیدهای کدکننده پروتئین GFP به عنوان پلاسمید گزارشگر نیز به اثبات رسید.

بررسی تأثیر بیان ژن EIA بر بیان shRNA در چند تکرار متواتی و در آزمایش‌های مهار جدگانه نشانگر عدم تفاوت در میزان بیان ژن هدف در سلول‌های ترانسفکت شده با پلاسمید pcDNA-U6snRNAP-shRNA در مقایسه با

**۵- منابع**

- [1] Graham FL, Smiley J, Russell WC, Nairn R. Characteristics of a human cell line transformed by DNA from human adenovirus type 5. *J Gen Virol* 1977; 36(1): 59-74.
- [2] Gallimore PH, Turnell AS. Adenovirus E1A: remodelling the host cell, a life or death experience. *Oncogene* 2001; 20(54): 7824-35.
- [3] Keblusek P, Dorsman JC, Teunisse AF, Teunissen H, van der Eb AJ, Zantema A. The adenoviral E1A oncoproteins interfere with the growth-inhibiting effect of the cdk-inhibitor p21(CIP1/WAF1). *J Gen Virol* 1999; 80: 381-90.
- [4] Chattopadhyay D, Ghosh MK, Mal A, Harter ML. Inactivation of p21 by E1A leads to the induction of apoptosis in DNA-damaged cells. *J Virol* 2001; 75(20): 9844-56.
- [5] Hacker DL, Bertschinger M, Baldi L, Wurm FM. Reduction of adenovirus E1A mRNA by RNAi results in enhanced recombinant protein expression in transiently transfected HEK293 cells. *Gene* 2004; 341: 227-34.
- [6] Cheng JC, Moore TB, Sakamoto KM. RNA interference and human disease. *Mol Genet Metab* 2003; 80(1-2): 121-8.
- [7] Kim VN. RNA interference in functional genomics and medicine. *J Korean Med Sci* 2003; 18(3): 309-18.
- [8] Brummelkamp TR, Bernards R, Agami R. A system for stable expression of short interfering RNAs in mammalian cells. *Science* 2002; 296(5567): 550-3.
- [9] Milhavet O, Gary DS, Mattson MP. RNA interference in biology and medicine. *Pharmacol Rev* 2003; 55(4): 629-48.